

УДК 621.983

О. В. КАЛЮЖНИЙ

## КОМБІНОВАНЕ ВИТЯГУВАННЯ ВІСЕСИМЕТРИЧНИХ ВИРОБІВ ІЗ АЛЮМІНІЮ AL-3003 В ДВОХКОНУСНІЙ МАТРИЦІ СПЕЦІАЛЬНОГО ПРОФІЛЯ

Методом скінченних елементів проведений аналіз комбінованого витягування із алюмінію AL-3003 вісесиметричних виробів в двоконусній матриці спеціального профіля без притискача. При витягуванні заготовок різного діаметра з однаковою товщиною встановлені раціональні профілі деформуючих поверхонь матриць та величини мінімальних односторонніх зазорів між матрицею і пуансоном, при яких деформування проходить без руйнування та отримуються вироби з максимальною висотою. Моделюванням виявлені енергосилові режими витягування, кінцеві форми і розміри виробів та напружено-деформований стан в zdeформованих заготовках. Використання матриці спеціального профіля дозволяє зменшити кількість переходів витягування в порівнянні з традиційною двоконусною матрицею.

**Ключові слова:** комбіноване витягування, двоконусна матриця спеціального профіля, зазор між матрицею і пуансоном, комп'ютерне моделювання, метод скінченних елементів, зусилля витягування, форма і розміри виробів, ресурс пластичності zdeформованого металу.

**Вступ.** Традиційне витягування вісесиметричних виробів із алюмінію та його сплавів в радіальних матрицях, які викладені в джерелах [1–4], не відповідають вимогам сучасного виробництва по продуктивності штампування та по точності форми і розмірів виробів. Використання комбінованого витягування в одноконусній і двоконусній матрицях дозволяє збільшити глибину витягування за один перехід та підвищити точність виробів завдяки потоншенню стінки при формоутворенні [5]. Вплив геометричної форми традиційної двоконусної матриці на процес формоутворення, форму і розміри виробів із сталі та зусилля деформування наведені в роботі [6]. Використання двоконусної матриці спеціального профіля, в якій деформуюча поверхня утворена перетином торів, дозволяє інтенсифікувати процес комбінованого витягування в напрямку збільшення ступеня деформації за один перехід та зменшення кількості переходів штампування [7, 8]. В роботі [9] приведена матриця з деформуючою поверхнею, яка суттєво зменшує вірогідність утворення складок при формоутворенні витягуванням. Однак, в літературних джерелах практично відсутні дані по витягуванню виробів із алюмінію в матриці спеціального профіля.

**Метою даного дослідження** є встановлення параметрів комбінованого витягування в двоконусній матриці спеціального профіля вісесиметричних виробів із листових заготовок різного діаметра з алюмінію AL-3003.

Схема комбінованого витягування в двоконусній матриці спеціального профілю показана на рис. 1. Вихідна листовая заготовка 1 діаметром  $D_3=2R_3$  встановлена в матриці 2. На відміну від традиційної двоконусної матриці, у матриці спеціального профіля деформуюча поверхня утворена перетином торів діаметром  $d$ , які розташовані з необхідними кроками  $l$  і  $n$ . Дотичні до деформуючої поверхні утворюють кути  $\alpha$  та  $\beta$ . В місці перетину дотичних поверхонь матриця має діаметр  $D_K=2R_K$ . Перехід плоскої поверхні матриці 2 в конусну під кутом  $\alpha$  відбувається на діаметрі  $D_o=2R_o$ . Витягування виконується за допомогою пуансона діаметром

$D_{II}=2R_{II}$  з радіусом заокруглення  $r_f$ . Для встановлення параметрів витягування використане комп'ютерне моделювання з використанням методу скінченних елементів (МСЕ) та програми DEFORM. Застосована пружно-пластична модель формоутворення ізотропного металу із коефіцієнтом тертя  $\mu=0,08$ .

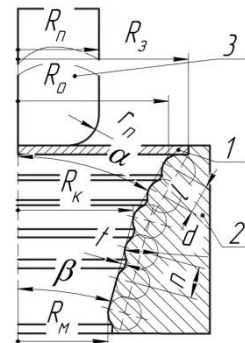


Рис. 1 – Схема витягування в двоконусній матриці

Витягуванню підлягали заготовки із алюмінію AL-3003, який має умовну межу текучості  $\sigma_{0,2}=80$  МПа, діаметрами  $D_3=110, 120, 130, 140$  та  $150$  мм і товщиною  $S_o=1,7$  мм. Діаметр пуансона  $D_{II}$  з радіусом заокруглення  $r_f, r_{II}=15$  мм вибирався в залежності від величини одностороннього зазору  $z$  між пуансоном і матрицею. Діаметр матриці  $D_K$  для вказаних заготовок був однаковий і складав  $D_K=59,2$  мм. Деформуюча поверхня матриці утворена перетином торів діаметром  $d=11$  мм, які розташовані з кроками  $l \approx n=11$  мм. Дотичні до деформуючої поверхні утворюють кути  $\alpha=30^\circ$  та  $\beta=15^\circ$  по рекомендаціях джерела [5]. Розмір зазору  $t$ , який необхідний для запобігання утворення складок при формоутворенні виробів завдяки розвантаженню торця zdeформованої заготовки, був величиною  $1,5$  мм. Діаметри матриці  $D_o=2R_o$  і  $D_K=2R_K$  також визначалися згідно рекомендацій роботи [5] та для кожної заготовки мали різні значення. Для заготовки з  $D_3=110$  мм –  $D_o=99$  мм і  $D_K=80$  мм; з  $D_3=120$  мм –  $D_o=108$  мм і  $D_K=81$  мм; з  $D_3=130$  мм –  $D_o=117$  мм і  $D_K=82$  мм; з  $D_3=140$  мм –

$D_o=126$  мм і  $D_k=83$  мм; з  $D_3=150$  мм –  $D_o=135$  мм і  $D_k=84$  мм. При даних розмірах в традиційній двохконусній матриці за один перехід можна отримати виріб із заготовки з  $D_3=110$  мм.

Розрахунком для кожного діаметра заготовки  $D_3$  були встановлені мінімальні величини зазорів  $z$ , при яких витягування проходить без руйнування та отримуються вироби з максимальною висотою. При витягуванні заготовки діаметром  $D_3=110$  мм величина такого зазору склала  $z=0,9$  мм. При цьому діаметр пуансона був  $D_{II}=57,4$  мм. Для інших діаметрів заготовок отримано: для  $D_3=120$  мм –  $z=1$  мм і  $D_{II}=57,2$  мм; для  $D_3=130$  мм –  $z=1,1$  мм і  $D_{II}=57$  мм; для  $D_3=140$  мм –  $z=1,2$  мм і  $D_{II}=56,8$  мм; для  $D_3=150$  мм –  $z=1,3$  мм і  $D_{II}=56,6$  мм.

На рис. 2 показані розрахункові залежності зусилля витягування від переміщення пуансонів, які отримані при витягуванні заготовок різного діаметра. На стадії згинання заготовки і деформування по верхній конусній поверхні зусилля витягування зростає. Чим більший діаметр заготовки, тим менше зусилля згинання. Далі, при формоутворенні zdeформованої заготовки в місці переходу верхнього конуса в нижній, зусилля дещо знижується. Зі збільшенням діаметра  $D_3$  зусилля витягування та переміщення пуансона зростають.

Моделюванням встановлені причини руйнування zdeформованої заготовки при витягуванні.

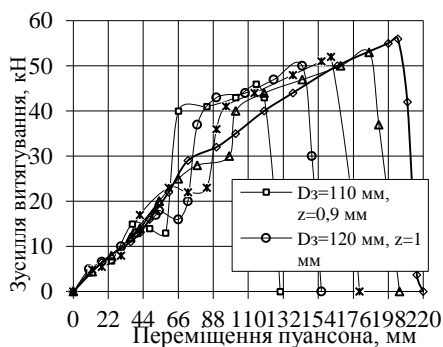


Рис. 2 – Залежності зусилля витягування від переміщення пуансона

Для прикладу, на рис. 3 зображена zdeформована заготовка діаметром  $D_3=120$  мм в момент руйнування. Розподіл ступеня використання ресурсу пластичності по об'єму заготовки у цей момент приведений на рис. 3, а. В стінці zdeформованої заготовки виникає область, в якій повністю вичерпується ресурс пластичності zdeформованого металу, досягаючи значення  $\psi=1$ . Це є причиною відриву донної частини заготовки (рис. 3, б).

Послідовність формоутворення виробу в матриці спеціального профіля із заготовки з  $D_3=120$  мм показана на рис. 4.

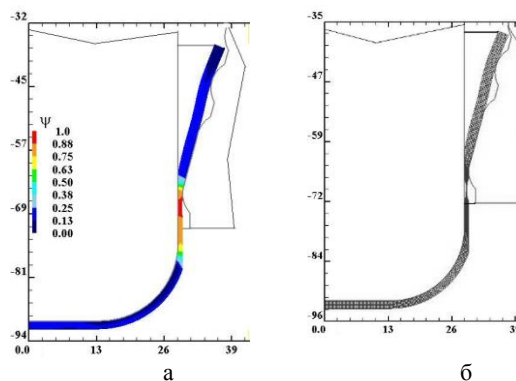


Рис. 3 – Zдеформована заготовка діаметром  $D_3=120$  мм в момент руйнування: а – розподіл ступеня використання ресурсу пластичності, б – відрив донної частини заготовки

Тонкими лініями зображений деформуючий інструмент. На початку витягування (рис. 4, а) заготовка деформується по поверхні верхнього конуса матриці. При цьому початку витягування (рис. 4, а) заготовка деформується по поверхні верхнього конуса матриці. При цьому торець zdeформованої заготовки розвантажується та заповнює зазор величиною  $z=1,5$  мм між виступами деформуючої поверхні матриці, що запобігає утворенню складок при витягуванні.

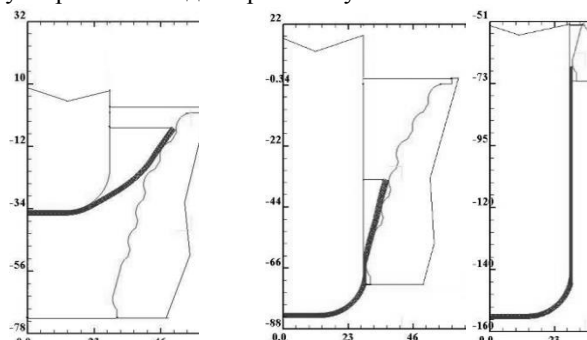


Рис. 4 – Послідовність формоутворення виробу в матриці спеціального профіля

На вичерпаний ресурс пластичності zdeформованого металу в процесі витягування суттєво впливають розтягувальні осьові напруження  $\sigma_z$ , які виникають в стінці циліндричної частини zdeформованої заготовки. Найбільші величини цих напружень мають місце при максимальному значенні зусилля витягування. На рис. 5 зображені розподіли вказаних напружень по об'єму zdeформованих заготовок при витягування заготовок з  $D_3=110, 130$  та  $150$  мм. Максимальні зусилля витягування отримуються при торканні торців zdeформованих заготовок бокової поверхні пуансона. В цей момент товщини стінок торців zdeформованих заготовок для наведених діаметрів  $D_3$  відповідно склали: 2,5; 2,7 та 2,9 мм. При витягуванні заготовки з  $D_3=110$  мм розтягувальні осьові напруження у стінці циліндричної частини знаходяться в межах  $\sigma_z=171\div 210$  МПа (рис. 5, а). У стінці на початку радіуса заокруглення донної частини величини цих напружень досягають значень  $\sigma_z=55\div 93$  МПа. При витягуванні заготовки

з  $D_3 = 130$  мм у стінці здеформованої заготовки, яка знаходиться в зазорі між матрицею і пуансоном, є невелика зона з величиною осевих напружень в межах  $\sigma_z = 171 \div 210$  МПа (рис. 5. б). При цьому у стінці на радіусі заокруглення донної частини здеформованої заготовки отримано  $\sigma_z = 73 \div 120$  МПа. Збільшення діаметра до  $D_3 = 150$  мм приводить до подальшого зменшення розтягувальних напружень у стінці, яка знаходиться в зазорі між матрицею та пуансоном.

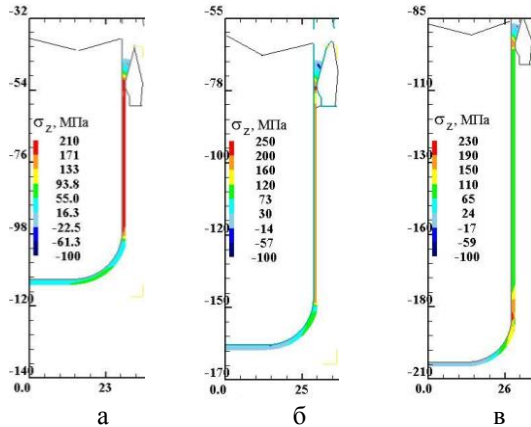


Рис. 5 – Розподіли осевих напружень  $\sigma_z$  у здеформованих заготовках при максимальному зусиллі витягування: а –  $D_3 = 110$  мм, б –  $D_3 = 130$  мм, в –  $D_3 = 150$  мм. Розміри по вісях в міліметрах

Тут отримано  $\sigma_z = 55 \div 93$  МПа. Але в місці переходу донної частини в циліндричну частину здеформованої заготовки виникає зона з розтягувальними напруженнями в межах  $\sigma_z = 190 \div 230$  МПа, що при зменшенні зазору між пуансоном та матрицею приводить до відриву донної частини

Пропрацювання структури металу холодною пластичною деформацією можна оцінити по розподілу інтенсивності деформацій. З іншої сторони по цьому розподілу та з використанням експериментальної діаграми істинних напружень можна прогнозувати механічні властивості здеформованого металу. На рис. 6 приведені розподіли інтенсивності деформацій  $\epsilon_i$  у здеформованому металі після витягування заготовок з  $D_3 = 110, 130$  та  $150$  мм. Вигляд розподілів практично однаковий для розглянутих діаметрів заготовок, але досягнуті величини  $\epsilon_i$  дещо відрізняються. У стінці на радіусі заокруглення донних частин здеформованих заготовок значення інтенсивності деформацій знаходяться в межах  $\epsilon_i = 0,25 \div 0,51$ . Після витягування заготовки з  $D_3 = 110$  мм в зоні торця виникає інтенсивність деформацій в межах  $\epsilon_i = 1,6 \div 1,8$  (рис. 6, а). Збільшення діаметра до  $D_3 = 130$  мм приводить до отримання в цьому місці зони з  $\epsilon_i = 1,8 \div 2,0$  (рис. 6, б).

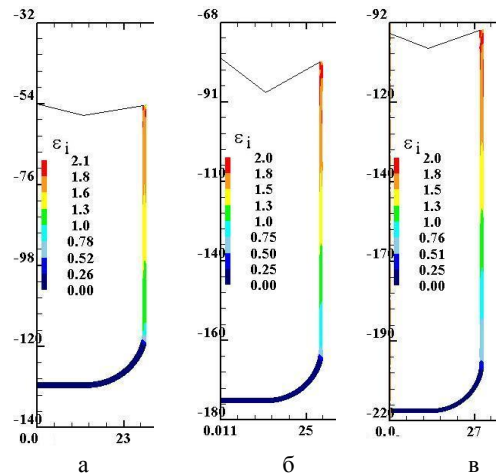


Рис. 6 – Розподіли інтенсивності деформацій у здеформованому металі після витягування заготовок різного діаметра: а –  $D_3 = 110$  мм, б –  $D_3 = 130$  мм, в –  $D_3 = 150$  мм. Розміри по вісях в міліметрах

Подальше зростання величини  $D_3$  приводить до розширення вказаної зони по висоті циліндричної частини здеформованої заготовки (рис. 6, в).

Моделюванням встановлені кінцеві форми та розміри виробів після витягування. На рис. 7 зображені форма та розміри виробів, які отримані після витягування заготовок з  $D_3 = 110, 130$  та  $150$  мм.

Вироби, які отримані комбінованим витягуванням в матриці спеціального профілю мають однакову товщину стінки по всій висоті циліндричної частини. Зовнішній діаметр виробів має однакову величину  $59,2$  мм. Зі збільшенням діаметра заготовки зростає потоншення стінки на радіусі заокруглення пуансона та висота виробів. Після витягування заготовки з  $D_3 = 110$  мм на радіусі заокруглення стінка потоншила з вихідної товщини  $S_0 = 1,7$  мм до  $1,65$  мм (рис. 7, а). Висота виробу склала  $79$  мм. Збільшення діаметра до величини приводить до товщини стінки  $1,58$  мм на радіусі заокруглення та до висоти виробу  $101$  мм (рис. 7, б). Після витягування заготовки діаметром  $D_3 = 110$  мм товщина стінки в указаному місці зменшилася до  $1,42$  мм, а висота виробу збільшилася до  $122$  мм. Необхідно відмітити, що після витягування заготовки  $D_3 = 120$  мм висота виробу склала  $91$  мм, а після витягування заготовки з  $D_3 = 140$  мм –  $111$  мм.

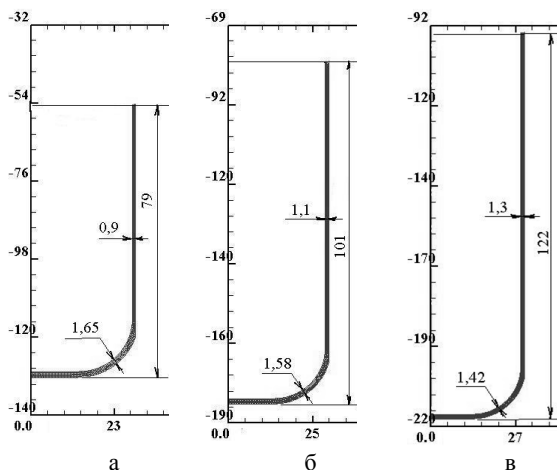


Рис. 7 – Форма та розміри в міліметрах виробів після витягування заготовок різного діаметра: а –  $D_3 = 110$  мм, б –  $D_3 = 130$  мм, в –  $D_3 = 150$  мм  
Розміри по всіх осях в міліметрах

Загальні вигляди виробів в розрізі, які отримані витягуванням із заготовок діаметром  $D_3 = 110, 130$  та  $150$  мм зображені на рис. 8.

По результатах розрахунків було спроектоване та виготовлене штампове оснащення для комбінованого витягування в матриці спеціального профілю. На рис. 9 зображений ескіз матриці спеціального профілю для витягування вісесиметричних виробів із заготовки  $D_3 = 150$  мм. На плиті 1 штампа встановлена витяжна матриця 2. На матриці 2 розміщені деформуючі вставки 3, 5, 7, 9, 11, 13 та 15, які виготовлені із штампових сталей.

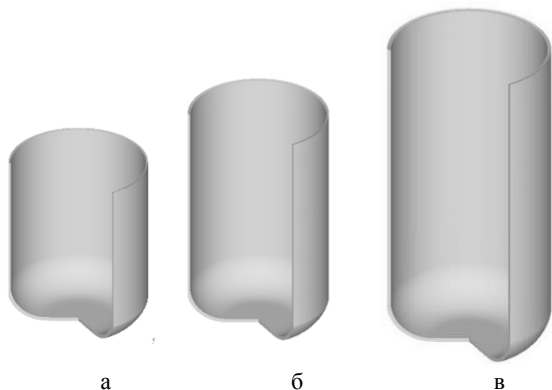


Рис. 8 – Загальні вигляди виробів в розрізі, які отримані після витягування заготовок різного діаметра: а –  $D_3 = 110$  мм, б –  $D_3 = 130$  мм, в –  $D_3 = 150$  мм

Між вставками розміщені кільця 2, 4, 6, 8, 10, 12 та 14 із середньовуглецевої сталі. Вставки і кільця центруються між собою та зафіксовані до плити 1 за допомогою обойми 16, шпильок 17, шайб 18 та гайок 19. В обоймі виконаний отвір для направлення пуансона відносно матриці, а у вставці 15 має місце паз для встановлення вихідної заготовки. Деталі 9–15 утворюють верхню деформуючу поверхню матриці спеціального профілю, дотична до якої складає кут  $\alpha = 30^\circ$  з віссю симетрії. А деталі 2–8 утворюють нижню деформуючу поверхню матриці з дотичною під кутом  $\beta = 15^\circ$ .

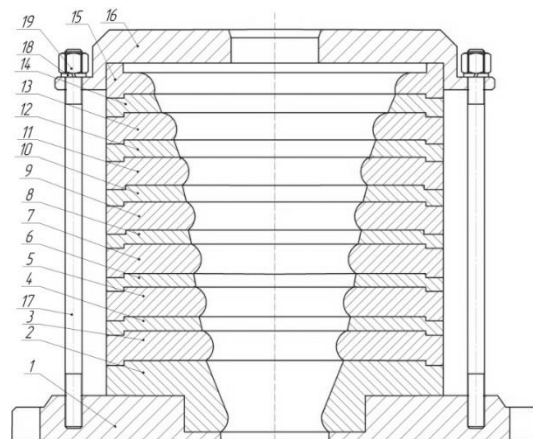


Рис. 9 – Ескіз матриці спеціального профілю

Фотографія матриці спеціального профілю, яка розміщена на проміжній плиті штампа для витягування, приведена на рис. 10. Штмп встановлюється на гідравлічний прес ДБ 2432 зусиллям  $1,6$  МН.



Рис. 10 – Фотографія матриці спеціального профілю, яка розміщена на проміжній плиті штампа для витягування

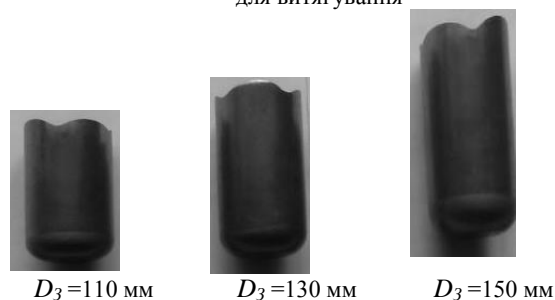


Рис. 11 – Деталі, які отримані із заготовок різного діаметра  $D_3$

Результати експериментальних досліджень підтвердили розрахункові дані по зусиллю витягування, а також по можливості витягування виробів за один перехід. В традиційній двох конусній матриці можна отримати за один перехід виріб тільки із заготовки з  $D_3 = 110$  мм. Деталі, які отримані із заготовок діаметром  $D_3 = 110, 130$  та  $150$  мм зображені на рис. 11.

**Висновки.** Методом скінченних елементів проведений розрахунковий аналіз комбінованого витягування в матриці спеціального профілю вісесиметричних виробів із заготовок різного

діаметра з алюмінію AL-3003. Встановлені величини мінімальних зазорів між матрицею та пуансоном, які дозволяють виконати формоутворення без руйнування та отримати вироби з найбільшою висотою. Моделюванням встановлені силові режими витягування, напружено-деформований стан в здеформованому металі та кінцеві форми і розміри виробів. По результатах розрахунків спроектоване та виготовлене штампове оснащення та проведені експериментальні дослідження по витягуванню дослідної партії виробів. Встановлено, що використання матриці спеціального профіля дозволяє. Скоротити кількість переходів витягування в порівнянні з традиційною двохконусною матрицею.

**Список літератури:** 1. Романовский В. П. Справочник по холодной штамповке. 6-е изд., перераб. и доп. / В. П. Романовский. – Ленингр. отд-ние: Машиностроение. 1979. – 520 с. 2. Ковка и штамповка: Справочник: В 4 т. Т. 4. Листовая штамповка/ Под ред. А.Д. Матвеева; Ред. совет: Е.И. Семенов (пред.) и др. – М.: Машиностроение, 1985–1987. – 544 с. 3. Аверкиев Ю. А. Холодная штамповка / Ю. А. Аверкиев. Издательство Ростовского университета, 1984. – 288 с. 4. Аверкиев Ю. А. Технология холодной штамповки / Ю. А. Аверкиев., А. Ю. Аверкиев. – М: Машиностроение, 1989. – 304 с. 5. Валиев С. А. Комбинированная глубокая вытяжка листовых материалов / С. А. Валиев. – М.: Машиностроение, 1973. – 176 с. 6. Калюжний В. Л. Визначення оптимального кута двоконусної матриці для комбінованого витягування вісесиметричних виробів / В. Л. Калюжний, А. С. Запорожченко // Збірник наукових праць (галузеve машинобудування, будівництво), Полтава, НТУ. – 2013. – №. 2(37), – С. 99–105. 7. Калюжний О.В. Зменшення кількості переходів витягування вісесиметричних виробів з використанням матриці спеціального профілю / О.В. Калюжний // Обработка материалов давлением.

Сборник научных трудов, Краматорск, ДГМА. – 2013. – №4 (37). – С. 93–97. 8. Калюжний О.В. Зменшення зусилля та підвищення продуктивності формоутворення при комбінованому витягуванні вісесиметричних виробів / О.В. Калюжний // Вісник НТУ «ХПІ», Серія «Нові рішення в сучасних технологіях». Харків. – 2013. – № 42. – С. 126–131. 9. Патент 101348, Україна, МПК (2015) В21F 1/00. Спосіб витягування порожнистих виробів в профільованій матриці / О.В.Калюжний, Я.С. Олександренко, І.П. Куліков. – Заявка № u201101215, заявл. 2.03.2015, опубл. 10.09.2015, Бюл. №17.

**Bibliography (transliterated):** 1. Romanovskiy V. P. Spravochnik po holodnoy shtampovke. 6-e izd., pererab. i dop. / V. P. Romanovskiy. – Leningrad. otd-nye: Mashinostroenie. 1979. – 520 p. 2. Kovka i shtampovka: Spravochnik: Vol. 4. Listovaya shtampovka/ Pod red. A.D. Matveeva; Red. sovet: E.I. Semenov (pred.) i dr. – Moscow: Mashinostroenie, 1985–1987. – 544 p. 3. Averkiev Yu. A. Holodnaya shtampovka / Yu. A. Averkiev. Izdatelstvo Rostovskogo universiteta, 1984. – 288 p. 4. Averkiev Yu. A. Tehnologiya holodnoy shtampovki / Yu. A. Averkiev., A. Yu. Averkiev. – Moscow: Mashinostroenie, 1989. – 304 p. 5. Valiev S. A. Kombinirovannaya glubokaya vytyazhka listovykh materialov / S. A. Valiev. – Moscow.: Mashinostroenie, 1973. – 176 p. 6. Kalyuzhniy V. L. Vznachennya optimalnogo kuta dvokonusnoyi matritsi dlya kombiNovanogo vityaguvannya vIsesimetricnih virobiv / V. L. Kalyuzhniy, A. S. Zaporozhchenko // ZbIrnik naukovih prats (galuzeve mashinobuduvannya, budivnitstvo), Poltava, NTU. – 2013. – No 2(37),. – P. 99–105. 7. Kalyuzhniy O.V. Zmshennya kilkostI perehodiv vityaguvannya visesimetricnih virobiv z vikoristannyam matritsi spetsialnogo profilyu / O.V. Kalyuzhniy // Obrabotka materialov davleniem. Sbornik nauchnykh trudov, Kramatorsk, DGMA. – 2013. – No4 (37). – P. 93–97. 8. Kalyuzhniy O.V. Zmshennya zussillya ta pIdvischennya produktivnosti formoutvorennya pri kombiNovanomu vityaguvanni visesimetricnih virobiv / O.V. Kalyuzhniy // Visnik NTU «KHPD», SerIya «Novi rishennya v suchasniy tehnologiyah», Kharkiv. – 2013. – No 42. – P. 126–131. 9. Patent. 101348? Ukraina, MPK (2015) V21F 1/00. Sposib vityaguvannya porozhnistih virobiv v profiIlovanIy matritsiI / O.V.Kalyuzhniy, Ya.S. Oleksandrenko, I.P. Kulikov. – Zayaka No u201101215, zayavl. 2.03.2015, opubl. 10.09.2015, Byul. No17.

Надійшла (received) 05.02.2015

#### Відомості про авторів / About the Authors

**Калюжний Олександр Володимирович** – кандидат технічних наук, доцент, Національний технічний університет України «Київський політехнічний інститут», доцент кафедри динаміки і міцності машин та опору матеріалів; тел.: (067) 771-88-62; e-mail: Av-k@ukr.net.

**Klyuzhny Olexsandr Vladimirovych** – Candidate of Technical Sciences (Ph. D.), Docent, National Technical University of Ukraine "Kyiv Polytechnic Institute", Associate Professor at the Department of Dynamics and durability of machines and resistance materials Kyiv; tel.: (067) 771-88-62; e-mail: Av-k@ukr.net.